



CODE: S4347

ارزیابی غیرخطی

بررسی آزمایشگاهی مقاومت فشاری ستونهای بتنی محصور شده با CFRP تحت اثر توام نیروی محوری و لنگر خمشی و مقایسه با مدل‌های تئوری

لیلا سادات

او۳- دانشجو

حمید رضا صالحیان^۱، محمد رضا اصفهانی^۲

۱- عضو هیات علمی گروه عمران دانشگاه آزاد اسلامی واحد سمنان

۲- استاد گروه عمران دانشگاه فردوسی مشهد

h.r.salehian@semnaniau.ac.ir

خلاصه

امروزه در

غیرخطی آنها امراء

در برابر زلزله سازه

سازه‌ها معمولاً با

مدلسازی می‌کنند.

Perform 3D

تطابق مناسب رفتار

واژه‌های کلیدی:

خلاصه

دور پیچ نمودن ستونهای بتنی با صفحات کامپوزیتی از جنس پلیمرهای مسلح شده با الیاف، موسوم به ورقه‌های FRP از جمله روش‌های نوین مقاوم سازی سازه‌ها محسوب می‌گردد. بخش اعظم رابطه‌هایی که برای توصیف رفتار ستون‌های بتنی محصور شده با FRP ارائه شده است، از طریق اعمال بار فشاری تنها، به این ستون‌ها به دست آمده است. حال آنکه بسیاری از ستون‌های بتن آرمه به عنوان عضوی از یک قاب خمشی تحت اثر توام بار محوری و لنگر خمشی واقع می‌شوند. در این مقاله نتایج حاصل از پژوهشی آزمایشگاهی در مورد مقاومت فشاری ستون‌های بتنی محصور شده با FRP با برخی از مدل‌های تئوری مقایسه شده است. نمونه‌های آزمایشگاهی شامل شش ستون بتن آرمه مربعی شکل به ابعاد $700 \times 200 \times 200$ میلیمتر می‌باشد. هر یک از ستونها با ورقه‌های FRP مسلح شده با الیاف یکسویه دور پیچ شده و تحت اثر بار...

واژه‌های کلیدی: ستون بتنی محصور شده، ورقه‌های FRP، مقاومت فشاری، اثر توام نیروی محوری و لنگر خمشی



بررسی آزمایشگاهی مقاومت فشاری ستونهای بتی مخصوص شده با CFRP تحت اثر توام نیروی محوری و لنگر خمشی و مقایسه با مدل‌های تئوری

حمید رضا صالحیان^۱، محمد رضا اصفهانی^۲

۱- عضو هیات علمی گروه عمران دانشگاه آزاد اسلامی واحد سمنان

۲- استاد گروه عمران دانشگاه فردوسی مشهد

^۱ h.r.salehian@semnaniau.ac.ir

خلاصه

دوربیج نمودن ستونهای بتی با صفحات کامپوزیتی از جنس پلیمرهای مسلح شده با الیاف، موسوم به ورقهای FRP از جمله روشهای نوین مقاوم‌سازی سازه‌ها محسوب می‌گردد. بخش اعظم رابطه‌هایی که برای توصیف رفتار ستونهای بتی مخصوص شده است، از طریق اعمال بار فشاری تنها، به این ستون‌ها به دست آمده است. حال آنکه بسیاری از ستون‌های بتی آرمه به عنوان خصوصی از یک قاب خمشی تحت اثر توام بار محوری و لنگر خمشی واقع می‌شوند. در این مقاله نتایج حاصل از پژوهشی آزمایشگاهی در مورد مقاومت فشاری ستون‌های بتی مخصوص شده با FRP با برخی از مدل‌های تئوری مقایسه شده است. نمونه‌های آزمایشگاهی شامل شش ستون بتی آرمه مربوطی شکل به ابعاد $70 \times 200 \times 200$ می‌باشد. هر یک از ستونها با ورقهای FRP مسلح شده با الیاف یکسویه دوربیج شده و تحت اثر بار برون محور فشاری فرآور گرفته‌اند. نتایج حاصل از آزمایش نشان می‌دهد که همزمان با افزایش برون محوری بار فشاری و افزایش لنگر خمشی موجود در مقطع، میزان تأثیر فرآینده دوربیج FRP کاهش می‌یابد. اما این کاهش در مدل‌های ارائه شده مرسوم برای تخمین مقاومت فشاری بتی مخصوص شده لحاظ نمی‌شود. مقدار مقاومت فشاری تخمین زده شده برای ستونهای مخصوص شده بیش از مقدار آزمایشگاهی و فاقد اطمینان لازم است.

کلمات کلیدی: ستون بتی مخصوص شده، ورقهای FRP، مقاومت فشاری، اثر توام نیروی محوری و لنگر خمشی

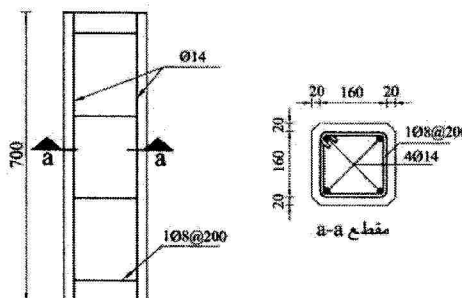
۱. مقدمه

امروزه بسیاری از سازه‌های زیربنایی بخصوص در کشورهای در حال توسعه نیازمند مقاوم‌سازی می‌باشند. قدمت ساخت، عدم انتباط با آینه‌های جدید طراحی، تخریب در اثر عوامل خورنده طبیعی و نیز آسیب دیدگی در زلزله‌ها و حوادث طبیعی دیگر می‌تواند از جمله دلایل مقاوم‌سازی سازه‌ها به شمار آید. یکی از روشهای معمول جهت مقاوم‌سازی و افزایش ظرفیت پاره‌بری ستونهای بتی آرمه، ایجاد روپوش پیرامونی، جهت محدود نمودن انبساط عرضی ستون بارگذاری شده است. این شیوه علاوه بر جلوگیری از کمایش آرماتورهای طولی ستون، با به تعویق اندختن جداشده‌گی پوسته بتی، انهمام ستون را نیز به تأخیر می‌اندازد. نخستین مطالعات پیرامون این روش مقاوم سازی ستونهای بتی آرمه در ابتدای قرن بیست و در مورد ستونهای مقاوم شده با روپوش فولادی صورت پذیرفت. این مطالعات نشان داد که وجود دوربیج پیرامون ستون، سبب افزایش مشخصه‌های پاره‌بری آن می‌گردد [۱ و ۲]. اثر نامطلوب شرایط محیطی بر روپوش‌های فولادی و مراحل دشوار و زمانی ایجاد این روپوش‌ها، سبب گردید که صفحات کامپوزیتی از جنس پلیمرهای مسلح شده با الیاف موسوم به ورقهای FRP از بدرو پیدایش به تدریج به عنوان جایگزین روکش‌های فولادی مورد استفاده قرار گیرند. مطالعات فراوانی پیرامون اثر دوربیج FRP در افزایش مقاومت فشاری ستونهای بتی مخصوص شده به انجام رسیده است. نتایج این مطالعات نشان از تأثیر چشمگیر دوربیج FRP در افزایش مقاومت فشاری ستون و بهبود شکل پذیری این اجزا دارد [۳ و ۴]. در بیشتر تحقیقات آزمایشگاهی در مورد رفتار ستونهای مخصوص شده با FRP، افزایش مقاومت فشاری ستون، تحت اثر نیروی محوری ارزیابی شده است. حال آنکه بسیاری از ستونهای بتی به عنوان اعضاًی از یک قاب خمشی تحت اثر ترکیبی از نیروی فشاری و لنگر خمشی قرار می‌گیرند. در این مقاله نتایج پژوهشی آزمایشگاهی در مورد رفتار ستونهای بتی مخصوص شده با CFRP تحت اثر اعمال توام بار محوری و لنگر خمشی با نتایج حاصل از مدل‌های تئوری ارائه شده توسط محققان دیگر مقایسه می‌گردد.



۰.۲ نمونه‌های آزمایشگاهی

نمونه‌های آزمایشگاهی شامل ۶ ستون بنز آرم به طول ۷۰۰ میلیمتر و با مقطعی مربعی شکل با طول ضلع ۲۰۰ میلیمتر می‌باشد. جزئیات و ابعاد نمونه‌ها در شکل ۱ مشاهده می‌شود. مطالعات متعدد نشان داده است که وجود زوایای تیز در مقطع، تاثیر دوربیج FRP را در بهبود افزایش باربری ستون به صفر می‌رساند [۵]. از این‌رو به منظور کاهش تمرکز تنش در دوربیج و افزایش میزان تاثیرگذاری آن، گوشه‌های مقطع به طول ۲۰ میلیمتر در راستای هر ضلع گرد می‌شود.



شکل ۱ - جزئیات نمونه‌های آزمایشگاهی

۰.۳ مصالح

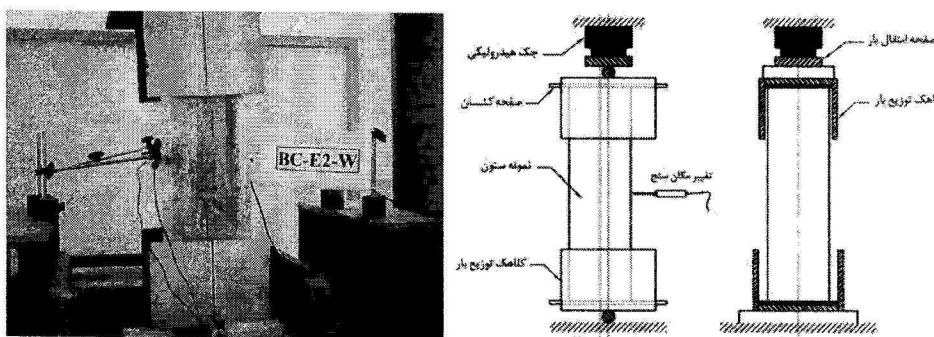
ساخت نمونه‌ها در سه ترتیب بنز ریزی صورت پذیرفته است. مقاومت فشاری میانگین بنز درین ریزی توت اول، دوم و سوم به ترتیب برابر ۲۴/۱، ۲۳/۲ و ۲۱/۸ مگاپاسکال می‌باشد. مقدار تنش جاری شدن آرماتورهای طولی با آزمایش کششی برابر با ۳۷۰ مگاپاسکال به دست آمده است. آرماتورهای عرضی نیز در فواصل ۲۰۰ میلیمتر از یکدیگر قرار گرفته‌اند. بر اساس آزمایش‌های محققان دیگر در این فواصل اثر محصور کششی آرماتورهای عرضی قابل اغماض است [۵]. نمونه ستون‌ها با یک لایه کامپوزیت پلیمری مسلح شده با الاف کربنی یک جهه و به روشن "Wet Lay-up" دوربیج شده‌اند. برای تعیین خصوصیات باربری دوربیج CFRP، نمونه‌هایی از این کامپوزیت مطابق با استاندار D3039 از آین‌نامه ASTM، تحت آزمایش ظرفیت کششی قرار گرفته است. خصوصیات مکانیکی به دست آمده برای CFRP در جدول ۱ آمده است.

جدول ۱- مشخصه‌های مکانیکی CFRP

نوع الاف	(mm)	ضخامت	کرنش نهایی (%)	مقاومت کششی (MPa)	ضریب کشسانی (GPa)
C-Sheet240	0.176		1.23	2876	234

۰.۴ برنامه آزمایش

اعمال بار فشاری به نمونه ستون‌ها، به کمک یک جک فشاری هیدرولیکی صورت پذیرفته است. مقدار نیروی اعمال شده به نمونه‌ها و تغییر مکان ارتفاع میانی آنها به کمک نیروسنجه و تغییر مکان سنج یا LVDT اندازه گیری شده و توسط سیستم ثبت و پردازش اطلاعات ذخیره می‌شود. جزئیات قرار گیری نمونه‌ها در زیر جک و نحوه انتقال بار برون محور فشاری به آنها در شکل ۲ به تصویر درآمده است. با توجه به ابعاد مقطع ستون، مقدار برون محوری بار فشاری به گونه‌ای انتخاب شده است تا فولادهای طولی مقطع تحت تنش کششی قرار نگیرد. در جدول ۲ نحوه نامگذاری نمونه‌ها و مقدار برون محوری بار فشاری وارد بر هر یک از آنها مشخص شده است.



شکل ۲- جزئیات انتقال بار به نمونه ستون‌ها

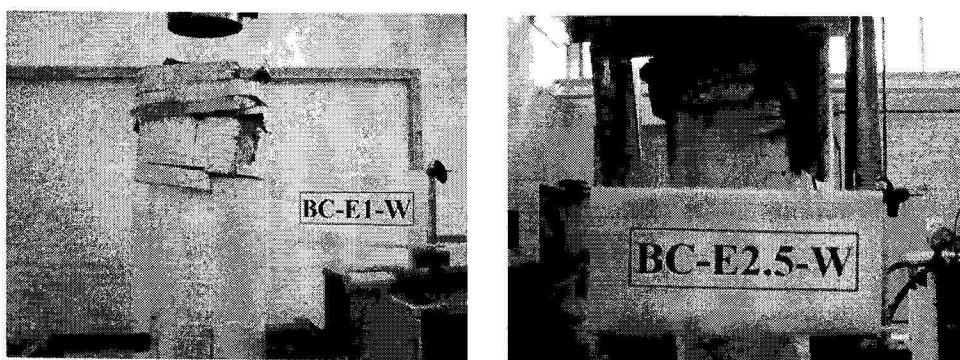
جدول ۲- نامگذاری نمونه‌ها و برونو محوری بار فشاری

سری بتن ریزی	مشخصه نمونه‌ها	برون محوری (mm)	مقاومت فشاری بتن (MPa)
I	BC-E3-W	30	23.2
	BC-E3.5-W	35	
II	BC-E1-W	10	20.1
	BC-E1.5-W	15	
III	BC-E2-W	20	21.8
	BC-E2.5-W	25	

* ستون دوربیج شده و تحت اثر بار فشاری با برونو محوری برابر با BC-Ea-W

۵. نتایج و مشاهدات آزمایشگاهی

شکست نهایی نمونه ستون‌های محصور شده با CFRP، کاملاً ترد و ناگهانی است. تنها علامت هشدار دهنده در این نمونه‌ها، شدت روند افزایش تغییر مکان‌های اندازه‌گیری شده و نیز تشدید صدای ناشی از خرد شدن بتن و کشیدگی الیاف در ناحیه فشاری مقطع است. شکل ۳ تصاویری از نحوه انهدام نمونه ستون‌ها را نشان می‌دهد.



شکل ۳- انهدام نمونه ستون‌های بارگذاری شده

با افزایش نیروی فشاری وارد بر مقطع ستون، مقدار تنفس در ناحیه فشاری مقطع، به تدریج به مقاومت فشاری بتن محصور نشده نزدیک می‌شود. در این هنگام خرد شدن بتن در ناحیه فشاری مقطع آغاز می‌گردد. وجود دوربیج پیرامونی سبب می‌گردد تا جدادشگی بتن خورد شده به تأخیر افتد و باربری ستون ادامه یابد. با ادامه بارگذاری ستون، تخریب ناحیه فشاری مقطع تشدید می‌گردد. در این هنگام صدای های مربوط به کشیده شدن الیاف پیرامون ستون و یا جدا شدن دوربیج از سطح جانبی ستون شنیده می‌شود. در حالت نهایی، دوربیج پیرامونی در وجه فشاری ستون به مقاومت کششی



خود می‌رسد و همراه با صدای بلند و به طور ناگهانی منهدم می‌شود. با انهدام کامپوزیت پیرامونی، ستون به نقطه گسیختگی می‌رسد. این نوع رفتار کم و بیش در تمامی نمونه‌ها مشاهده شده است. گسیختگی دوربیج در یکی از دو انتهای ستون و به فاصله‌ای در حدود یک سوم ارتفاع ستون، از محل اعمال بار اتفاق افتداده است.



شکل ۴- محل گسیختگی دوربیج

محل گسیختگی دوربیج CFRP در مقطع تعامی نمونه‌ها، در وجه فشاری ستون و همانند تصویر شکل ۴، نزدیک به یکی از گوششها رخ می‌دهد. در این نواحی تمرکز تنش کششی بیشتری در دوربیج ایجاد شده و گسیختگی آن را موجب می‌شود. نکته قابل توجه آن است که با افزایش برون محوری بار و افزایش سهم لگر خمی در مقطع ستون، شدت گسیختگی نهایی CFRP محدودتر شده است. علت آن است که با افزایش برون محوری بار و کاهش ناحیه فشاری در مقطع، انبساط عرضی بتن فشاری محدود می‌گردد و ناحیه کمتری از دوربیج به مرز گسیختگی می‌رسد. در جدول ۳ مقادیر نیروی محوری نهایی اندازه‌گیری شده برای نمونه‌ها آمده است.

جدول ۳- نتایج آزمایش نمونه ستون‌ها

مشخصه نمونه	BC-E1-W	BC-E1.5-W	BC-E2-W	BC-E2.5-W	BC-E3-W	BC-E3.5-W
نیروی محوری نهایی (kN)	841.521	783.150	759.287	693.824	674.581	585.807

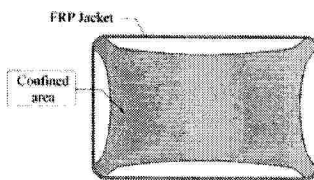
۶. انواع محصور گشته دوربیج FRP

محصور شدن بتن با مواد FRP، نه تنها مقاومت فشاری را افزایش می‌دهد، بلکه بر میزان جذب انرژی در این ستون‌ها تاثیر فرازینده‌ای دارد و نوعی بهبود شکل پذیری را در آنها ایجاد می‌نماید. نکته بسیار مهم آن است که بیزگی‌های مکانیکی بتن محصور شده را نمی‌توان جزو خصوصیات ذاتی بتن محسوب نمود. هنگامی که یک ستون بتنی محصور شده، تحت اثر فشار محوری قرار می‌گیرد، هسته بتنی منطبق خواهد شد. این انبساط و افزایش حجم جانبی، توسط دوربیج پیرامونی محدود می‌شود. از این‌رو نوعی فشار جانبی غیر فعال از جانب روپوش به بتن میانی اعمال می‌گردد که به آن تنش فشاری محصور گشته گفته می‌شود. با توجه به تعادل تنش‌های وارد بر ماده دورگیر گشته و نیز با صرف نظر از تنش‌های مماسی راستای طولی نمونه ستون، می‌توان نوشت [۶]:

$$f_t = \left(\frac{2}{D} \right) E_{frp} \epsilon_{frp} t_{frp} \quad (1)$$

در رابطه بالا f_t ماکریم تنش فشاری محصور گشته‌ای است که از سمت دوربیج به هسته مدور بتنی با قطر D وارد می‌گردد. همچنین E_{frp} و t_{frp} ضخامت و مدلول الاستیسیته دوربیج FRP در راستای الایاف قرار گرفته به دور ستون و ϵ_{frp} کرنش کششی نهایی FRP است. در بسیاری از مطالعات گذشته مقدار E_{frp} با اعمال کششی مستقیم بر تسمه‌های ساخته شده از FRP تعیین گردیده است. در حالی که برخی مشاهدات آزمایشگاهی نشان داده است که مقدار کرنش نهایی کامپوزیت پیرامونی در نمونه‌های استوانه‌ای کمتر از E_{frp} است. از این‌رو در برخی مدل‌های ارائه شده، مقدار کرنش نهایی FRP به کمک ضربی کوچکتر از واحد k_t با نام ضربی کارآیی FRP بهره گرفته شده است [۵].

مشاهدات آزمایشگاهی نشان می‌دهد که اثر دوربیج FRP در بهبود شاخصه‌های باربری ستونهای بتنی محصور شده با مقاطع مدور بسیار محسوس است. علت این امر توزیع یکنواخت تنش محصور گشته در سطح پیرامونی هسته بتنی این گونه ستون‌ها است. در مقاطع چهار گوش، مطابق شکل ۵، فشار محصور گشته‌ای FRP در مقاطع چهارضلعی به طور یکنواخت در کل مقطع ستون توزیع نمی‌شود [۷]. در این گونه ستون‌ها، ضربی کاهنده به نام ضربی شکل مقطع (k_t) تعریف می‌گردد.



شکل ۵- ناحیه محصور شده در ستون با مقطع چهار ضلعی [۲]

با جایگذاری مقدار ضرب کارآبی FRP و ضرب شکل مقطع در رابطه (۱)، رابطه (۲) بدست می آید که برای محاسبه تنش فشاری محصور کننده در ستونهای با مقطع دور و چهار ضلعی قابل به کارگیری است. در رابطه زیر مقدار k_s در مقاطع دور برابر با $D/2$ است.

$$f_l = k_s k_e E_{frp} \epsilon_{frp} t_{frp} \quad (2)$$

روش‌های تعیین مقاومت فشاری ستون بتنی محصور شده با FRP با مقطع چهار ضلعی

۷.

مدل‌های متعددی برای محاسبه مقاومت فشاری ستونهای بتنی محصور شده با مقطع چهار ضلعی ارائه شده است. در این مدل‌ها مقاومت فشاری بتن محصور شده در مقاطع چهار ضلعی (f'_{cc0}) به گونه‌ای خاص به ابعاد مقطع، شعاع گردی گوشها، مقاومت فشاری هسته بتنی (f'_c0) و سختی دوربیج FRP وابسته شده است. در این مقاله شش نمونه از این مدل‌ها مورد ارزیابی قرار می‌گیرد. این روابط مختص ستونهای محصور شده با FRP و با مقطع چهار گوش پیشنهاد شده‌اند که توسط میرمیران و همکارانش [۸]، پاتلیدیس و یان [۹]، السلوم [۱۰]، لم و ننگ [۱۵] وو و ایلکی و همکارانش [۱۲] ارائه گردیده‌اند. نکته مهم آن است که هر یک از این مدل‌ها برای پیش‌بینی مقاومت فشاری بتن محصور شده با FRP تحت اثر بار مسحوری تدوین گردیده‌اند. در جدول ۴ مقادیر ضرب کارآبی دوربیج FRP و روابط ارائه شده برای محاسبه ضرب شکل مقطع در هر یک از مدل‌های مورد مطالعه آمده است. در این مدل‌ها مقادیر ضرب کارآبی FRP از $۰/۵$ تا $۱/۰$ متغیر است. مطابق روابط آمده در این جدول، اندازه ضلع بزرگتر (a) و ضلع کوچکتر مقطع (b) و شعاع گردی گوشها (r) از جمله پارامترهای هندسی ستون است که در محاسبه مقدار ضرب شکل تأثیرگذار می‌باشند. در جدول ۵ نیز روابط مربوط به محاسبه مقاومت فشاری ستون بتنی محصور شده (f'_{cc0}) در هر یک از مدل‌ها آمده است. در این روابط مقاومت فشاری هسته بتنی است.

جدول ۴- ضرب شکل مقطع و کارآبی دوربیج FRP در مدل‌ها

نام مدل	ضریب کارآبی (k_e) FRP	ضریب شکل مقطع (k_s)
میرمیران و همکارانش	1.0	$k_s = \frac{4r}{a^2}$
پاتلیدیس و یان	0.5	$k_s = \left(1 - \frac{(a-2r)^2 + (b-2r)^2}{3ab} \right) \left(\frac{(a+b)}{ab} \right)$
السلوم	1.0	$R = \sqrt{2}a - 2r(\sqrt{2}-1)$, $k_s = \left(\frac{2a}{R^2} \right) \left(1 - \frac{2}{3} \left[\frac{(1-2(r/a))^2}{1-(4-\pi)(r/a)^2} \right] \right)$
لم و ننگ	0.57	$k_s = \left(\frac{b}{a} \right)^2 \left(\frac{2}{\sqrt{a^2+b^2}} \right) \left[1 - \frac{(b/a)(a-2r)^2 + (a/b)(b-2r)^2}{3(ab-(4-\pi)r^2)} \right]$
وو و ننگ	1.0	$k_s = \left(\frac{2}{b} \right)$
ایلکی و همکارانش	0.85	$k_s = \left(\frac{a+b}{ab} \right) \left[1 - \left(\frac{(b/a)(a-2r)^2 + (a/b)(b-2r)^2}{3(ab-(4-\pi)r^2)} \right) \right]$

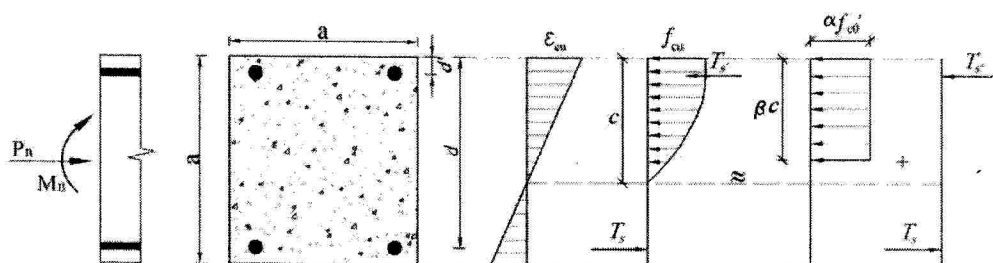


جدول ۵- روابط محاسبه مقاومت فشاری ستون بتی محصور شده (f'_{cc0}) در مدل ها

نام مدل	ضریب شکل مقطع (k_s)
میرمیران و همکارانش	for : $\left(\frac{2r}{a}\right)\left(\frac{f_l}{f'_{c0}}\right) \geq 0.15 \quad f'_{cc0} = \left(1 + 6.0 \frac{f_l^{0.7}}{f'_{c0}}\right) f'_{c0}$
پاتلیدیس و بان	$f'_{cc0} = \left(-4.322 + 4.271 \sqrt{1 + 4.193 \frac{f_l}{f'_{c0}}} - 2 \frac{f_l}{f'_{c0}}\right) f'_{c0} \quad \frac{f_l}{f'_{c0}} \geq 0.2$ $f'_{cc0} = MAX \left[\frac{\left(-4.322 + 4.271 \sqrt{1 + 4.193 \frac{f_l}{f'_{c0}}} - 2 \frac{f_l}{f'_{c0}}\right)}{0.0768 \ln(\frac{f_l}{f'_{c0}}) + 1.122} f'_{c0}, f'_{c0} \right] \quad \frac{f_l}{f'_{c0}} < 0.2$
السلعوم	$f'_{cc0} = \left(1 + 3.14 \frac{f_l}{f'_{c0}}\right) f'_{c0}$
لم و ترک	$f'_{cc0} = \left(1 + 3.3 \frac{f_l}{f'_{c0}}\right) f'_{c0}$
وو و نگ	$f'_{cc0} = \left(1 + 2.16 \left(\frac{2r}{b}\right)^{0.651} \left(\frac{f_l}{f'_{c0}}\right)^{0.955}\right) f'_{c0}$
ایلکی و همکارانش	$f'_{cc0} = \left(1 + 2.54 \frac{f_l}{f'_{c0}}\right) f'_{c0}$

۸. محاسبه بار محوری نهایی در حضور لکر خمشی

در شکل ۶ نیروهای موجود در مقطعی از یک ستون بتی آرمه تحت اثر توان بار محوری و لکر خمشی به تصویر درآمده است. در این شکل، ε_{cu} کرنش نهایی بتی فشاری است که مقدار آن مطابق با آین نامه ACI برابر با 0.003 در نظر گرفته می شود [۱۲]. بر اساس مبانی آین نامه ACI توزیع تنش در قسمت فشاری مقطع با بلوک تنش فشاری معادل، قابل جایگزینی است. ابعاد بلوک تنش فشاری در شکل عبارت $\alpha f'_{c0}$ با α و βC مشخص گردیده است. f'_{c0} مقاومت فشاری بتی محصور شده و C عمق ناحیه فشاری مقطع ستون است. هدف اصلی در این مطالعه بررسی امکان بهره جویی از روابط پیشنهادی برای مقاومت فشاری بتی محصور شده در شرایط اعمال توان بار فشاری و لکر خمشی است. از اینرو ابتدا با کمک روابط ارائه شده در جداول ۴ و ۵، مقدار مقاومت فشاری بتی محصور شده محاسبه می گردد. سپس مقاومت فشاری بتی محصور شده (f'_{cc0}) در تعادل نیروهای نشان داده شده در شکل ۷ جایگزین مقدار مقاومت فشاری بتی محصور شده می شود. به کمک یک نرم افزار ساده می توان تعادل نیرو و تنش های وارد بر مقطع ستون را در مقدارهای متفاوتی از C بررسی نمود که حاصل آن تعیین مقدار نهایی نیروی فشاری (P_n) و لکر خمشی (M_n) است که همزمان موجب انهدام نمونه ستون های محصور شده می شوند.

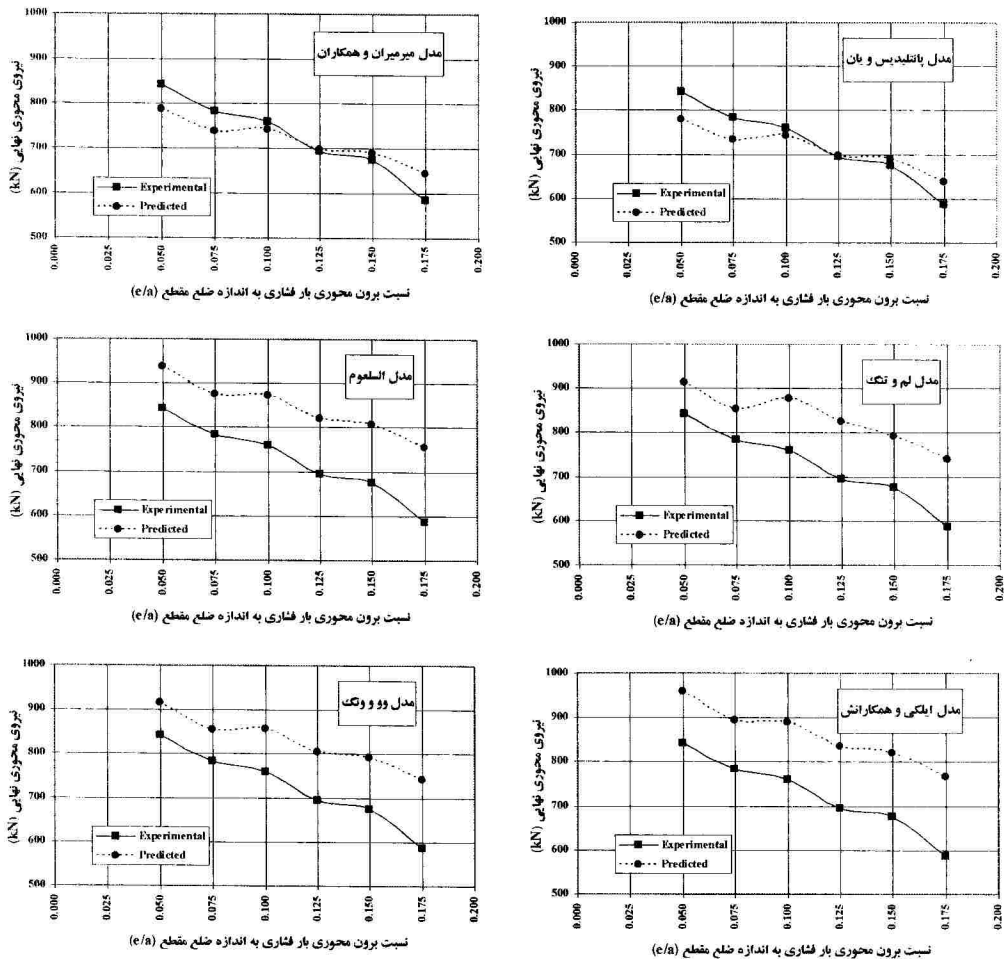


شکل ۶- توزیع تنش و کرنش در مقطع ستون و بلوک تنش معادل در حضور لکر خمشی



۹. مقایسه نتایج آزمایشگاهی با نتایج پیش‌بینی شده توسط روش‌های مورد بررسی

در نمودارهای شکل ۷ نیروی فشاری نهایی به دست آمده در آزمایش بر روی هر یک از نمونه س-tonهای محصور شده با CFRP، با مقادیر به دست آمده از هر یک از مدلها، در برون محوری‌های مختلف مقایسه شده است. مطابق با این نمودارها، به طور کلی افزایش برون محوری بار فشاری و تقویت نقش لنگر خمی در س-tonها سبب افزایش مقادیر نیروی فشاری نهایی بدست آمده از هر یک مدلها نسبت به مقادیر آزمایشگاهی شده است.



شکل ۸- مقایسه نیروی برون محوری نهایی آزمایشگاهی با مقادیر حاصل روش‌های مورد بررسی

در مدل‌های میرمیران و همکاران و پانتلیدیس و یان در برون محوری‌های کم فاصله اطمینان قابل قبولی میان مقادیر پیش‌بینی شده و نتایج آزمایشگاهی وجود دارد. اما با افزایش برون محوری، به تاریخ اطمینان موجود در نتایج حاصل از مدل رو به کاهش می‌نهد. به طوری که در برون محوری‌های بیش از ۲۵ میلیمتر نتایج پیش‌بینی بیش از مقادیر آزمایشگاهی است. این امر در مورد دیگر مدل‌ها به وضوح قابل مشاهده است. در این مدل‌ها حتی در برون محوری‌های کم نیز فاصله میان مقادیر پیش‌بینی شده و نتایج آزمایشگاهی کم و بیش به چشم می‌خورد. این امر نشان از حساسیت بسیار زیاد این مدل‌ها بر برون محوری بار فشاری و انتکای مطلق آن به فشار یکنواخت کل مقطع ستون دارد. بیشترین اختلاف میان پیش‌بینی تعامی مدل‌های بررسی شده با نتایج تجربی در نمونه ستون BC-E3.5-W با بیشینه برون محوری بار فشاری است. پاسخ‌های فاقد اطمینان و کمتر از مقادیر واقعی مدل‌های مورد بررسی را می‌توان ناشی از تأثیر مضاعف برون محوری بار فشاری در نمونه ستون‌های محصور شده دانست. اعمال لنگر خمی بر



نمونه ستون های محصور شده، علاوه بر کاهش ظرفیت باربری فشاری ستون به دلیل اندرکشش بار فشاری و لنگر خمشی، سبب کاهش مقادیر تنش فشاری محصور کننده و به تبع آن مقاومت فشاری محصور شده این نمونه ستون ها گردیده است. به بیان دقیق تر در نمونه هایی که با بروز محوری بیشتر تحت بار فشاری قرار می گیرند، تنش محصور کننده واقعی ناشی از دوربیج CFRP کمتر از مقادیر ایست که از مدل های اشاره شده پیشین محاسبه می شود.

۱۱. نتیجه گیری

در این مقاله نتایج حاصل از پژوهشی آزمایشگاهی در مورد اثر ترکیب لنگر خمشی و بار محوری در ستون های بتن آرمه تقویت شده با کامپوزیت CFRP، ارائه شده است. نمونه های آزمایش شده شامل ۶ ستون مریعی شکل و دوربیج شده با CFRP است که تحت اثر نیروهای فشاری بروز محوری آزمایش شده اند. هیچنین جریات شش مدل پیشنهاد شده توسط محققان دیگر، برای محاسبه مقاومت فشاری ستونهای بتنی محصور شده با FRP معرفی شده است. این مدل ها با فرض اعمال نیروی فشاری محوری بر ستونهای دوربیج شده تدوین شده اند. این تحقیق نشان می دهد که اعمال لنگر خمشی بر نمونه ستون های محصور شده با CFRP علاوه بر اندرکشش بار فشاری و لنگر خمشی، اثر کاهنده ای بر مقاومت فشاری بتن محصور شده می گذارد. اعمال لنگر خمشی بر مقطع ستون، سبب توزیع غیر یکنواخت تنش فشاری وارد بر مقطع و انساط عرضی آن می گردد. به همین دلیل استفاده از روابط تخمین مقاومت فشاری بتن محصور شده، با افزایش لنگر خمشی، به پاسخ های غیر واقعی و فاقد اطمینان می انجامد.

۱۲. مراجع

۱. اصفهانی، م. ر.، صالحیان، ح. ر.، (۱۳۸۴)، "بررسی رفتار ستونهای بتن آرمه تقویت شده با دوربیج CFRP تحت اثر نیروی بروز محور"، نشریه دانشکده فنی، ۳۹ (۵)، صفحه ۵۵۹-۵۶۹.
۲. Esfahani M.R. and Kianoush M.R., (2004), "Axial compressive strength of reinforced concrete columns wrapped with FRP", 1st conference on Application of FRP composites in construction and rehabilitation of structures, May 4, Tehran, Iran.
۳. صالحیان، ح. ر.، اصفهانی، م. ر.، (۱۳۸۲)، "بررسی رفتار ستونهای بتن آرمه دوربیج شده با کامپوزیت CFRP تحت اثر بار بروز محور"، دوین همایش بین المللی بتن و توسعه، تهران، ایران.
۴. خیرالدین، ع.، صالحیان، ح. ر.، (۱۳۸۷)، "بررسی عوامل موثر در مقاومت فشاری ستون های بتنی محصور شده با CFRP"، اولین همایش بین المللی مقاوم سازی لرزه ای ساختمانها، تبریز، ایران، ۲۹ مهر - ۱ آبان.
5. Lam, L. and Teng, J.G., (2003), "Design-oriented stress-strain model for FRP-confined concrete in rectangular columns", Journal of Reinforced Plastics and Composites, 22 (13), pp 1149-1186.
6. Kheyroddin, A., Naderpour, H., Hoseynie vaez, S. R., (2008), "Numerical evaluation of nonlinear response of reinforced concrete structures strengthened with CFRP wrap", 6th International Structural Specialty Conference, 2008 CSCE Annual Conference, Québec City, Québec, Canada.
7. Rochette, P. and Labossiere, P., (2000), "Axial testing of rectangular column models confined with composites", Journal of Composites for Construction, 4 (3), pp 129-136.
8. Mirmiran, A., Shahawy, M., Samman, M., Echary, H., Mastrapa, J. C. and Pico, O., (1998), "Effect of column parameters on FRP-confined concrete", Journal of Composites for Construction, 2 (4), pp 175-185.
9. Pantelides, C. P., Yan, Z., (2007), "Confinement model of concrete with externally bonded FRP jackets or post tensioned FRP shells", Journal of Structural Engineering, Vol. 133 (9), pp 1288-1296.
10. Al-Salloum, Y. A., (2007), "Influence of edge sharpness on the strength of square concrete columns confined with FRP composite laminates", Elsevier: Composites, Part B: engineering, 38, pp 640-650, (www.elsevier.com/locate/compositesb).
11. Wu, Y. F. and Wang, L. M., (2008), "A unified model for the compressive strength of FRP-confined square and circular concrete columns", Forth International conference on FRP composites in civil Engineering (CICE2008), Zurich, Switzerland.
12. Ilki, A., Peker, O., Karamuk, E., Demir, C. and Kumbasar, N., (2008), "FRP retrofit of low and medium strength circular and rectangular concrete columns", Journal of Materials in Civil Engineering, 20(2), pp 169-188.
13. ACI., (2002), "Building code requirements for structural concrete", Standard 318M-02, American Concrete Institute.